

УДК 53.087.5

И.В. Бодрова, О.А. Бодров, Д.А. Наумов

РАСЧЕТ МАТРИЦ РАССЕЙЯНИЯ СВЕТОВОГО ПУЧКА МЕТАЛЛИЧЕСКОЙ И ДИЭЛЕКТРИЧЕСКОЙ ПОВЕРХНОСТЯМИ ТЕХНОГЕННЫХ КОСМИЧЕСКИХ ОБЪЕКТОВ

Составлена матрица рассеяния Мюллера, а также решена спектральная задача для рассеивающих световой поток металлических и диэлектрических поверхностей. Предложен расчет параметров Стокса падающего излучения с помощью полученной матрицы рассеяния металлической поверхностью. Выполненные результаты расчета могут быть использованы при фотополариметрических исследованиях удаленных техногенных космических объектов.

Ключевые слова: Вектор Стокса, матрица рассеяния Мюллера, техногенный космический мусор.

Введение. В общей проблеме загрязнения околоземного пространства отдельно стоит проблема угрозы техногенного космического мусора. Эта проблема, в свою очередь, подразделяется на две части: опасность для биосферы Земли от падений достаточно крупных (от нескольких метров) фрагментов космических аппаратов и опасность для космической техники в околоземном пространстве. Основным средством анализа космического мусора является оптический мониторинг. При этом фотополариметрические исследования могут дать полезную информацию о структуре, форме изучаемого космического объекта [1].

Цель работы – нахождение элементов матрицы рассеяния Мюллера при отражении светового пучка от поверхностей техногенного космического мусора, а также решение спектральной задачи.

Постановка задачи. Основной задачей фотополариметрических исследований техногенных космических объектов является их идентификация. Оптические свойства поверхности исследуемого объекта имеют важное значение при решении этой задачи. В фотополариметрии поверхность техногенного космического объекта модельно описывается матрицей рассеяния Мюллера, поэтому расчет таких матриц для различных типов поверхностей, а также дальнейшее составление каталогов матриц Мюллера является актуальной задачей. В данной работе рассматривается задача конструктивного составления матрицы рассеяния светового пучка металлическими и диэлектрическими поверхностями, а также применение построенной матрицы для

расчета вектора Стокса падающего излучения.

Решение задачи. Построение матрицы рассеяния Мюллера.

Световой пучок, падающий на космический объект, представляется в виде тензора светового поля $\Phi = \sum_s E^s E^{*s}$, где E^s – гармоника с положительной частотой; E^{*s} – гармоника с отрицательной частотой [2].

Некогерентная простая волна с положительной частотой представляет собой вектор $\bar{E} = E_x + iE_y$, где E_x, E_y – проекции вектора \bar{E} на оси, перпендикулярные к направлению распространения световой волны. Далее будут использоваться обозначения: $E_x = E_1, E_y = E_2$.

Четырехкомпонентный вектор Стокса $\bar{S} = (J, Q, U, V)$ представляет собой вещественный вектор, компоненты которого являются комбинациями проекций $E_x = E_1$ и $E_y = E_2$:

$$\begin{aligned} J &= |E_1|^2 + |E_2|^2; \\ Q &= |E_1|^2 - |E_2|^2; \\ U &= 2 \operatorname{Re}(E_1 \bar{E}_2); \\ V &= 2 \operatorname{Im}(E_1 \bar{E}_2). \end{aligned}$$

Первая компонента вектора Стокса J характеризует интенсивность светового потока, вторая компонента Q – степень поляризации [1, 2]. Компоненты вектора Стокса обладают следующими свойствами:

$$\begin{aligned} J &\geq 0, \\ J &\geq \sqrt{Q^2 + U^2 + V^2}. \end{aligned}$$

Рассеяние светового потока рассеивающей техногенной поверхностью космического объекта модельно описывается операторным уравнением:

$$\bar{\mathbf{S}} = \mathbf{M}\bar{\mathbf{S}}_0, \quad (1)$$

где $\bar{\mathbf{S}}_0 = (J_0, Q_0, U_0, V_0)$ – вектор Стокса падающего излучения; $\bar{\mathbf{S}} = (J, Q, U, V)$ – вектор Стокса рассеянного излучения; \mathbf{M} – матрица рассеяния, характеризующая отражающие свойства рассеивающей поверхности и угол падения светового пучка [2, 3, 4].

Согласно формулам Френеля для металлов [5, 6]:

$$\sin \varphi = \frac{\sin \varphi}{v}; \quad \cos \varphi = \frac{\sqrt{v^2 - \sin^2 \varphi}}{v},$$

φ – угол падения светового пучка,

φ – угол преломления светового пучка,

$v = n - i\chi$ – комплексный коэффициент преломления света металлом, где

n – показатель преломления, χ – показатель поглощения.

Известно, что амплитудные коэффициенты

Френеля $r_1 = \frac{R_1}{E_1}$, $r_2 = \frac{R_2}{E_2}$ равны отношению

амплитуд отраженной и падающей световой волны перпендикулярно и параллельно плоскости рассеяния соответственно [4].

$$r_1 = \frac{n_1 \cos \varphi - n_2 \cos \varphi}{n_1 \cos \varphi + n_2 \cos \varphi};$$

$$r_2 = \frac{n_2 \cos \varphi - n_1 \cos \varphi}{n_2 \cos \varphi + n_1 \cos \varphi},$$

где n_1 – коэффициент преломления первой среды, n_2 – коэффициент преломления второй среды. Для данной задачи $n_1 = 1$ (вакуум), $n_2 = v$ (металл). Следовательно,

$$r_1 = \frac{\cos \varphi - v \cos \varphi}{\cos \varphi + v \cos \varphi} = \frac{\cos \varphi - \sqrt{v^2 - \sin^2 \varphi}}{\cos \varphi + \sqrt{v^2 - \sin^2 \varphi}}; \quad (2)$$

$$r_2 = \frac{v \cos \varphi - \frac{\sqrt{v^2 - \sin^2 \varphi}}{v}}{v \cos \varphi + \frac{\sqrt{v^2 - \sin^2 \varphi}}{v}} =$$

$$= \frac{v^2 \cos \varphi - \sqrt{v^2 - \sin^2 \varphi}}{v^2 \cos \varphi + \sqrt{v^2 - \sin^2 \varphi}}. \quad (3)$$

Амплитудные коэффициенты r_1, r_2 являются комплексными, и при вычислении

$\sqrt{v^2 - \sin^2 \varphi}$ выбирается значение корня с отрицательной мнимой частью [5].

Для составления матрицы линейного оператора рассеяния \mathbf{M} рассмотрим преобразование компонентов вектора Стокса падающего излучения согласно формулам Френеля:

$$J_0 = |E_1|^2 + |E_2|^2;$$

$$J = |R_1|^2 + |R_2|^2,$$

где E_1, E_2 – перпендикулярная и параллельная амплитуды падающего излучения, R_1, R_2 – перпендикулярная и параллельная амплитуды отраженного излучения. Так как $R_1 = r_1 E_1$ и $R_2 = r_2 E_2$, следовательно

$$J = |r_1 E_1|^2 + |r_2 E_2|^2;$$

$$r_1 E_1 = (\operatorname{Re} r_1 + i \operatorname{Im} r_1)(\operatorname{Re} E_1 + i \operatorname{Im} E_1) =$$

$$= (\operatorname{Re} r_1 \operatorname{Re} E_1 - \operatorname{Im} r_1 \operatorname{Im} E_1) + i(\operatorname{Re} r_1 \operatorname{Im} E_1 + \operatorname{Im} r_1 \operatorname{Re} E_1);$$

$$|r_1 E_1|^2 = (\operatorname{Re} r_1 \operatorname{Re} E_1 - \operatorname{Im} r_1 \operatorname{Im} E_1)^2 +$$

$$+ (\operatorname{Re} r_1 \operatorname{Im} E_1 + \operatorname{Re} E_1 \operatorname{Im} r_1)^2.$$

Соответственно

$$|r_2 E_2|^2 = (\operatorname{Re} r_2 \operatorname{Re} E_2 - \operatorname{Im} r_2 \operatorname{Im} E_2)^2 +$$

$$+ (\operatorname{Re} r_2 \operatorname{Im} E_2 + \operatorname{Re} E_2 \operatorname{Im} r_2)^2.$$

Тогда

$$J = |r_1 E_1|^2 + |r_2 E_2|^2 = (\operatorname{Re} r_1 \operatorname{Re} E_1)^2 =$$

$$= (\operatorname{Re} r_1)^2 ((\operatorname{Re} E_1)^2 + (\operatorname{Im} E_1)^2) + (\operatorname{Im} r_1)^2 ((\operatorname{Re} E_1)^2 +$$

$$+ (\operatorname{Im} E_1)^2) + (\operatorname{Re} r_2)^2 ((\operatorname{Re} E_2)^2 + (\operatorname{Im} E_2)^2) +$$

$$+ (\operatorname{Im} r_2)^2 ((\operatorname{Re} E_2)^2 + (\operatorname{Im} E_2)^2) = ((\operatorname{Re} E_1)^2 +$$

$$+ (\operatorname{Im} E_1)^2) ((\operatorname{Re} r_1)^2 + (\operatorname{Im} r_1)^2) +$$

$$+ ((\operatorname{Re} E_2)^2 + (\operatorname{Im} E_2)^2) ((\operatorname{Re} r_2)^2 + (\operatorname{Im} r_2)^2) =$$

$$= |E_1|^2 |r_1|^2 + |E_2|^2 |r_2|^2.$$

Выразим $|E_1|^2, |E_2|^2$ через компоненты вектора Стокса падающего потока J_0, Q_0 . Так как $J_0 = |E_1|^2 + |E_2|^2$, $Q_0 = |E_1|^2 - |E_2|^2$, то $|E_1|^2 = \frac{J_0 + Q_0}{2}$, $|E_2|^2 = \frac{J_0 - Q_0}{2}$. Следовательно,

$$J = \frac{J_0 + Q_0}{2} \cdot |r_1|^2 + \frac{J_0 - Q_0}{2} \cdot |r_2|^2 \Rightarrow$$

$$\Rightarrow J = \frac{1}{2} J_0 (|r_1|^2 + |r_2|^2) + \frac{1}{2} (|r_1|^2 - |r_2|^2).$$

Вторая компонента вектора Стокса рассеянного излучения выражается через компоненты вектора Стокса падающего излучения следующим образом:

$$\begin{aligned} Q &= |r_1 E_1|^2 - |r_2 E_2|^2 = ((\text{Re } E_1)^2 + (\text{Im } E_1)^2) \times \\ &\quad \times ((\text{Re } r_1)^2 + (\text{Im } r_1)^2) - ((\text{Re } E_2)^2 + (\text{Im } E_2)^2) \cdot ((\text{Re } r_2)^2 + (\text{Im } r_2)^2) = \\ &= |E_1|^2 |r_1|^2 - |E_2|^2 |r_2|^2 = \frac{J_0 + Q_0}{2} \cdot |r_1|^2 - \\ &\quad - \frac{J_0 - Q_0}{2} \cdot |r_2|^2 \Rightarrow \\ \Rightarrow Q &= \frac{1}{2} J_0 (|r_1|^2 - |r_2|^2) + \frac{1}{2} Q_0 (|r_1|^2 + |r_2|^2). \end{aligned}$$

Выразим третью компоненту вектора Стокса U через компоненты вектора Стокса падающего излучения:

$$\begin{aligned} U &= 2 \text{Re}(R_1 \bar{R}_2) = 2 \text{Re}((r_1 E_1)(r_2 E_2)^*) = \\ &= 2 \text{Re}((\text{Re } E_1 \text{Re } r_1 - \text{Im } E_1 \text{Im } r_1) + i(\text{Re } E_1 \text{Im } r_1 + \\ &\quad + \text{Re } r_2 \text{Im } E_1))((\text{Re } E_2 \text{Re } r_2 - \text{Im } E_2 \text{Im } r_2) - \\ &\quad - i(\text{Re } E_2 \text{Im } r_2 + \text{Re } r_2 \text{Im } E_2)) = \\ &= 2((\text{Re } E_1 \text{Re } r_1 - \text{Im } E_1 \text{Im } r_1)(\text{Re } E_2 \text{Re } r_2 - \\ &\quad - \text{Im } E_2 \text{Im } r_2) + (\text{Re } E_1 \text{Im } r_1 + \\ &\quad + \text{Re } r_1 \text{Im } E_1)(\text{Re } E_2 \text{Im } r_2 + \text{Re } r_2 \text{Im } E_2)) = \\ &= 2((\text{Re } E_1 \text{Re } E_2 (\text{Re } r_1 \text{Re } r_2 + \text{Im } r_1 \text{Im } r_2) + \\ &\quad + \text{Im } E_1 \text{Im } E_2 (\text{Im } r_1 \text{Im } r_2 + \text{Re } r_1 \text{Re } r_2) + \\ &\quad + \text{Re } E_1 \text{Im } E_2 (\text{Im } r_1 \text{Re } r_2 - \text{Re } r_1 \text{Im } r_2) + \\ &\quad + \text{Re } E_2 \text{Im } E_1 (\text{Re } r_1 \text{Im } r_2 - \text{Re } r_2 \text{Im } r_1) = \\ &= 2((\text{Re } r_1 \text{Re } r_2 + \text{Im } r_1 \text{Im } r_2)(\text{Re } E_1 \text{Re } E_2 + \\ &\quad + \text{Im } E_1 \text{Im } E_2) + (\text{Re } r_1 \text{Im } r_2 - \\ &\quad - \text{Re } r_2 \text{Im } r_1)(\text{Re } E_2 \text{Im } E_1 - \text{Re } E_1 \text{Im } E_2)) = \\ &= 2(\text{Re } r_1 \text{Re } r_2 + \text{Im } r_1 \text{Im } r_2)(\text{Re } E_1 \text{Re } E_2 + \\ &\quad + \text{Im } E_1 \text{Im } E_2) - 2(\text{Re } r_1 \text{Im } r_2 - \\ &\quad - \text{Re } r_2 \text{Im } r_1)(\text{Re } E_2 \text{Im } E_1 - \text{Re } E_1 \text{Im } E_2) = \\ &= \text{Re}(r_1 \bar{r}_2) 2 \text{Re}(E_1 \bar{E}_2) - \text{Im}(r_1 \bar{r}_2) 2 \text{Im}(E_1 \bar{E}_2). \end{aligned}$$

Так как $U_0 = 2 \text{Re}(E_1 \bar{E}_2), V_0 = 2 \text{Im}(E_1 \bar{E}_2)$, то $U = \text{Re}(r_1 \bar{r}_2) U_0 - \text{Im}(r_1 \bar{r}_2) V_0$.

Рассмотрим четвертую компоненту V вектора Стокса отраженного излучения. Соответствующая компонента вектора Стокса падающего излучения имеет вид $V_0 = 2 \text{Im}(E_1 \bar{E}_2)$. Следовательно:

$$\begin{aligned} V &= 2 \text{Im}(R_1 \bar{R}_2) = 2 \text{Im}((r_1 E_1)(r_2 E_2)^*) = \\ &= 2 \text{Im}((\text{Re } E_1 \text{Re } r_1 - \text{Im } E_1 \text{Im } r_1) + \\ &\quad + i(\text{Re } E_1 \text{Im } r_1 + \text{Re } r_1 \text{Im } E_1))((\text{Re } E_2 \text{Re } r_2 - \\ &\quad - \text{Im } E_2 \text{Im } r_2) - i(\text{Re } E_2 \text{Im } r_2 + \text{Re } r_2 \text{Im } E_2)) = \\ &= 2((\text{Re } E_1 \text{Im } r_1 + \text{Re } r_1 \text{Im } E_1)(\text{Re } E_2 \text{Re } r_2 - \\ &\quad - \text{Im } E_2 \text{Im } r_2) - (\text{Re } E_1 \text{Re } r_1 - \\ &\quad - \text{Im } E_1 \text{Im } r_1)(\text{Re } E_2 \text{Im } r_2 + \text{Re } r_2 \text{Im } E_2)) = \\ &= 2((\text{Re } E_1 \text{Re } E_2 (\text{Im } r_1 \text{Re } r_2 - \text{Re } r_2 \text{Im } r_2) + \\ &\quad + \text{Im } E_1 \text{Im } E_2 (\text{Re } r_2 \text{Im } r_1 - \text{Re } r_1 \text{Im } r_2) - \\ &\quad - \text{Re } E_1 \text{Im } E_2 (\text{Im } r_1 \text{Im } r_2 + \text{Re } r_1 \text{Re } r_2) + \\ &\quad + \text{Im } E_1 \text{Re } E_2 (\text{Re } r_1 \text{Re } r_2 + \text{Im } r_1 \text{Im } r_2)) = \\ &= 2(\text{Im } r_1 \text{Re } r_2 - \text{Re } r_1 \text{Im } r_2)(\text{Re } E_1 \text{Re } E_2 + \\ &\quad + \text{Im } E_1 \text{Im } E_2) + 2(\text{Re } r_1 \text{Re } r_2 + \\ &\quad + \text{Im } r_1 \text{Im } r_2)(\text{Im } E_1 \text{Re } E_2 - \text{Re } E_1 \text{Im } E_2) = \\ &= \text{Im}(r_1 \bar{r}_2) 2 \text{Re}(E_1 \bar{E}_2) + \text{Re}(r_1 \bar{r}_2) 2 \text{Im}(E_1 \bar{E}_2) \Rightarrow \\ \Rightarrow V &= \text{Im}(r_1 \bar{r}_2) U_0 + \text{Re}(r_1 \bar{r}_2) V_0. \end{aligned}$$

Таким образом, получена зависимость между компонентами вектора Стокса падающего излучения, компонентами вектора Стокса отраженного излучения и амплитудными коэффициентами Френеля:

$$\begin{aligned} J &= J_0 \left[\frac{|r_1|^2 + |r_2|^2}{2} \right] + Q_0 \left[\frac{|r_1|^2 - |r_2|^2}{2} \right]; \\ Q &= J_0 \left[\frac{|r_1|^2 - |r_2|^2}{2} \right] + Q_0 \left[\frac{|r_1|^2 + |r_2|^2}{2} \right]; \\ U &= U_0 \text{Re}(r_1 \bar{r}_2) - V_0 \text{Im}(r_1 \bar{r}_2); \\ V &= U_0 \text{Im}(r_1 \bar{r}_2) + V_0 \text{Re}(r_1 \bar{r}_2). \end{aligned}$$

Составим матрицу рассеяния Мюллера для отражающих металлических поверхностей:

$$\mathbf{M} = \begin{pmatrix} M_{11} & M_{12} & 0 & 0 \\ M_{21} & M_{22} & 0 & 0 \\ 0 & 0 & M_{33} & M_{34} \\ 0 & 0 & M_{43} & M_{44} \end{pmatrix}, \quad (4)$$

где

$$\begin{aligned} M_{11} &= M_{22} = \frac{|r_1|^2 + |r_2|^2}{2}; \\ M_{12} &= M_{21} = \frac{|r_1|^2 - |r_2|^2}{2}; \\ M_{33} &= M_{44} = \text{Re}(r_1 \bar{r}_2); \\ M_{34} &= -M_{43} = -\text{Im}(r_1 \bar{r}_2). \end{aligned}$$

Амплитудные коэффициенты r_1, r_2 определяют

ся согласно (2, 3).

Таким образом, можно рассматривать линейное преобразование вектора \bar{S}_0 в вектор \bar{S} , а матрицу \mathbf{M} – как матрицу данного линейного оператора [7].

Рассмотрим решение спектральной задачи для матрицы (4) линейного оператора \mathbf{M} : $\mathbf{M}\bar{v} = \lambda\bar{v}$ [7]. Собственные числа матрицы данного линейного оператора находятся из двух уравнений:

$$\left(\frac{1}{2}(|r_1|^2 + |r_2|^2) - \lambda\right)^2 - \left(\frac{1}{2}(|r_1|^2 - |r_2|^2)\right)^2 = 0;$$

$$(\operatorname{Re}(r_1\bar{r}_2) - \lambda)^2 + (\operatorname{Im}(r_1\bar{r}_2))^2 = 0.$$

Для первого уравнения:

$$\begin{aligned} & \left(\frac{1}{2}(|r_1|^2 + |r_2|^2) - \lambda\right)^2 - \left(\frac{1}{2}(|r_1|^2 - |r_2|^2)\right)^2 = \\ & = \left(\frac{1}{2}|r_1|^2 + \frac{1}{2}|r_2|^2 - \lambda - \frac{1}{2}|r_1|^2 + \frac{1}{2}|r_2|^2\right) \times \\ & \times \left(\frac{1}{2}|r_1|^2 + \frac{1}{2}|r_2|^2 - \lambda + \frac{1}{2}|r_1|^2 - \frac{1}{2}|r_2|^2\right) = \\ & = (|r_2|^2 - \lambda)(|r_2|^2 - \lambda) = 0. \end{aligned}$$

Собственные числа, полученные из решения первого уравнения, $\lambda_1 = |r_1|^2$, $\lambda_2 = |r_2|^2$ вещественные, различные, им соответствует пара ортогональных собственных векторов $\bar{v}_1 = (1, 1, 0, 0)$ и $\bar{v}_2 = (1, -1, 0, 0)$.

Для второго уравнения:

$$\begin{aligned} & (\operatorname{Re}(r_1\bar{r}_2) - \lambda)^2 + (\operatorname{Im}(r_1\bar{r}_2))^2 = (\operatorname{Re}(r_1\bar{r}_2) - \lambda)^2 - \\ & - i^2 (\operatorname{Im}(r_1\bar{r}_2))^2 = (\operatorname{Re}(r_1\bar{r}_2) - \lambda + i \operatorname{Im}(r_1\bar{r}_2)) \times \\ & \times (\operatorname{Re}(r_1\bar{r}_2) - \lambda - i \operatorname{Im}(r_1\bar{r}_2)) = 0. \end{aligned}$$

Собственные числа λ_3, λ_4 , являющиеся решениями второго уравнения являются комплексно-сопряженными:

$$\lambda_3 = \operatorname{Re}(r_1\bar{r}_2) + i \operatorname{Im}(r_1\bar{r}_2);$$

$$\lambda_4 = \operatorname{Re}(r_1\bar{r}_2) - i \operatorname{Im}(r_1\bar{r}_2)$$

или $\lambda_3 = (r_1\bar{r}_2), \lambda_4 = (\bar{r}_1 r_2)$.

Собственные векторы, соответствующие найденным собственным числам матрицы линейного оператора \mathbf{M} , найдены из решения уравнения:

$$(\mathbf{M} - \lambda\mathbf{E})\bar{v} = 0.$$

Собственным числам $\lambda_1 = |r_1|^2$, $\lambda_2 = |r_2|^2$ соответствует пара ортогональных собственных векторов $\bar{v}_1 = (1, 1, 0, 0)$ и $\bar{v}_2 = (1, -1, 0, 0)$.

Собственные векторы, соответствующие

собственным числам λ_3, λ_4 , имеют вид:

$$\bar{v}_3 = (0, 0, 1, i), \bar{v}_4 = (0, 0, 1, -i).$$

Таким образом, матрицу линейного оператора \mathbf{M} можно привести к диагональному виду:

$$\mathbf{D} = \begin{pmatrix} |r_1|^2 & 0 & 0 & 0 \\ 0 & |r_2|^2 & 0 & 0 \\ 0 & 0 & (r_1\bar{r}_2) & 0 \\ 0 & 0 & 0 & (\bar{r}_1 r_2) \end{pmatrix}.$$

Соответствующая собственная матрица линейного оператора рассеяния имеет вид:

$$\mathbf{T} = \begin{pmatrix} 1 & 1 & 0 & 0 \\ 1 & -1 & 0 & 0 \\ 0 & 0 & 1 & 1 \\ 0 & 0 & i & -i \end{pmatrix}.$$

Рассмотрим далее метод составления матрицы рассеяния светового пучка для диэлектрической поверхности.

Для диэлектриков показатель преломления n является вещественным, причем $n = \frac{\sin \varphi}{\sin \varphi}$, (φ – угол падения, φ – угол преломления).

Следовательно, амплитудные коэффициенты r_1 и r_2 также являются вещественными [5, 6]:

$$r_1 = \frac{\cos \varphi - \sqrt{n^2 - \sin^2 \varphi}}{\cos \varphi + \sqrt{n^2 - \sin^2 \varphi}}; \quad (5)$$

$$r_2 = \frac{n^2 \cos \varphi - \sqrt{n^2 - \sin^2 \varphi}}{n^2 \cos \varphi + \sqrt{n^2 - \sin^2 \varphi}}. \quad (6)$$

Таким образом, $\operatorname{Re}(r_1\bar{r}_2) = r_1 r_2$, $\operatorname{Im}(r_1\bar{r}_2) = 0$ и матрица рассеяния светового пучка диэлектрической поверхностью имеет вид:

$$\mathbf{M} = \begin{pmatrix} \frac{|r_1|^2 + |r_2|^2}{2} & \frac{|r_1|^2 - |r_2|^2}{2} & 0 & 0 \\ \frac{|r_1|^2 - |r_2|^2}{2} & \frac{|r_1|^2 + |r_2|^2}{2} & 0 & 0 \\ 0 & 0 & (r_1 r_2) & 0 \\ 0 & 0 & 0 & (r_1 r_2) \end{pmatrix}. \quad (7)$$

Амплитудные коэффициенты r_1, r_2 для диэлектриков определяются согласно (5, 6). Матрица рассеяния диэлектрической поверхностью \mathbf{M} является симметричной и вещественной, следовательно, она имеет вещественные собственные числа и ортогональные собственные векторы [7].

Характеристическое уравнение для исследу-

дуюмой матрицы M (7) имеет вид:

$$\left(\frac{1}{2}(|r_1|^2 + |r_2|^2) - \lambda\right)^2 - \left(\frac{1}{2}(|r_1|^2 - |r_2|^2)\right)^2 = 0$$

$$((r_1 r_2) - \lambda)^2 = 0.$$

Таким образом, спектр матрицы линейного оператора рассеяния диэлектрическими поверхностями состоит из четырех вещественных собственных чисел (два из них – кратных):

$$\lambda_n = \{|r_1|^2, |r_2|^2, (r_1 r_2), (r_1 r_2)\}.$$

Исследуемая матрица диагонализуется к виду:

$$\mathbf{D} = \begin{pmatrix} |r_1|^2 & 0 & 0 & 0 \\ 0 & |r_2|^2 & 0 & 0 \\ 0 & 0 & r_1 r_2 & 0 \\ 0 & 0 & 0 & r_1 r_2 \end{pmatrix}$$

Собственный базис состоит из ортогональных векторов:

$$\mathbf{T} = \begin{pmatrix} 1 & 1 & 0 & 0 \\ 1 & -1 & 0 & 0 \\ 0 & 0 & 1 & 0 \\ 0 & 0 & 0 & 1 \end{pmatrix}.$$

Таким образом, матрицы рассеяния для металлической и диэлектрической поверхностей космических объектов имеют следующие различия: третья и четвертая строки матриц, последние два собственных числа и соответствующие им собственные векторы. Матрица линейного оператора рассеяния диэлектрической поверхностью является симметричной. То есть, состав поверхности влияет на изменение третьей и четвертой компонент вектора Стокса U и V .

Применение матрицы рассеяния для расчета вектора Стокса падающего излучения.

При исследованиях поляризационных эффектов в фотометрии космических объектов считается, как правило, что на исследуемый объект падает естественный световой поток, имеющий нулевую поляризацию [2, 6]. То есть, вектор Стокса падающего излучения имеет координаты $\bar{\mathbf{S}} = (J, 0, 0, 0)$. Но известно, что, проходя через слои ионосферы, световой поток приобретает некоторую поляризацию. В данной работе предложен метод определения поляризации падающего излучения с помощью найденных матриц рассеяния для металлов и диэлектриков.

Согласно (1) математической моделью рассеяния света от отражающей поверхности является операторное уравнение [2]:

$$\bar{\mathbf{S}} = \mathbf{M}\bar{\mathbf{S}}_0, \text{ где } \bar{\mathbf{S}}, \bar{\mathbf{S}}_0, \mathbf{M} \text{ определены выше.}$$

Для нахождения вектора Стокса и поляризации падающего излучения использовались расчетные данные компонент вектора Стокса рассеянного излучения для модельного объекта «Мир» с известным показателем преломления $\nu = 1,4 - i4,53$. Расчет компонент Стокса рассеянного излучения проводился согласно методике, описанной в [2].

Операторное уравнение $\bar{\mathbf{S}} = \mathbf{M}\bar{\mathbf{S}}_0$ для металлических поверхностей имеет вид:

$$\begin{pmatrix} J \\ Q \\ U \\ V \end{pmatrix} = \begin{pmatrix} M_{11} & M_{12} & 0 & 0 \\ M_{21} & M_{22} & 0 & 0 \\ 0 & 0 & M_{33} & M_{34} \\ 0 & 0 & M_{43} & M_{44} \end{pmatrix} \cdot \begin{pmatrix} J_0 \\ Q_0 \\ U_0 \\ V_0 \end{pmatrix}.$$

Таким образом, вычисление вектора Стокса падающего излучения сводится к решению системы:

$$\begin{cases} J_0 = \frac{|r_1|^2(J - Q) + |r_2|^2(J + Q)}{2|r_1|^2|r_2|^2}; \\ Q_0 = \frac{|r_1|^2(Q - J) + |r_2|^2(J + Q)}{2|r_1|^2|r_2|^2}; \\ U_0 = \frac{\text{Re}(r_1 \bar{r}_2)U + \text{Im}(r_1 \bar{r}_2)V}{|r_1 \bar{r}_2|^2}; \\ V_0 = \frac{\text{Re}(r_1 \bar{r}_2)V - \text{Im}(r_1 \bar{r}_2)U}{|r_1 \bar{r}_2|^2}. \end{cases}$$

Амплитудные коэффициенты для металлов определяются по формулам (2, 3).

По результатам данных исследований была разработана программная реализация, позволяющая определить компоненты вектора Стокса и поляризацию падающего излучения по параметрам Стокса рассеянного света и при известном коэффициенте преломления поверхности. Для расчета вектора Стокса падающего излучения составлена программа на языке Delphi, позволяющая осуществлять:

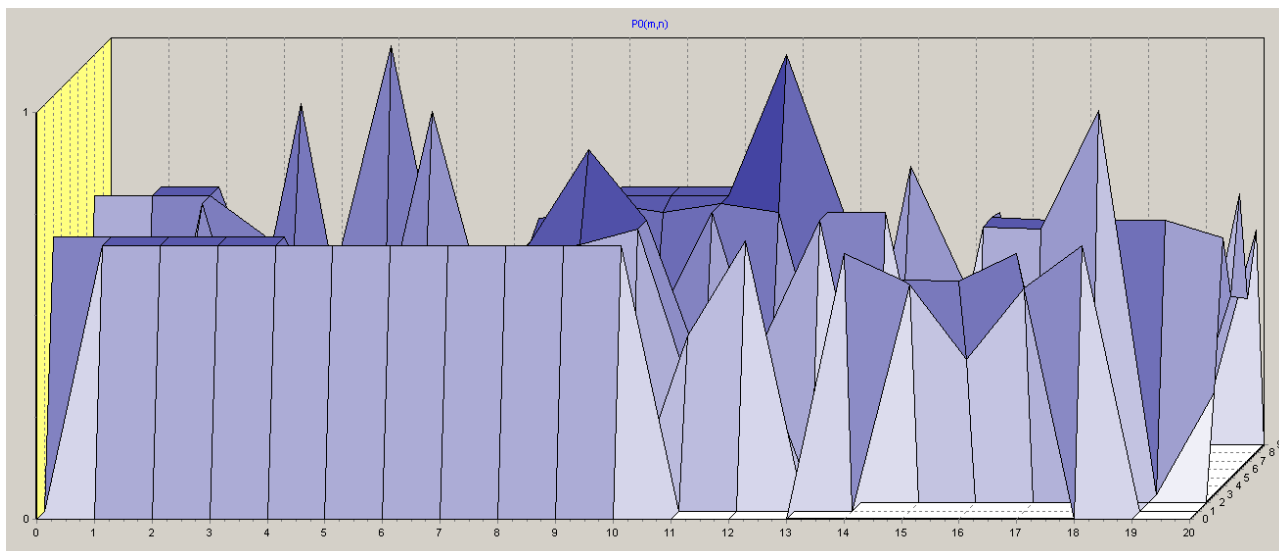
- загрузку данных из файлов формата xls;
- расчет вектора Стокса падающего излучения;
- расчет вектора Стокса рассеянного излучения;
- построение полей рассеяния компонент вектора Стокса и коэффициента поляризации;
- экспорт результатов расчета в графическом и табличном видах.

Поле рассеяния коэффициента поляризации падающего излучения в сферической системе координат показано на рисунке.

Заключение. Предложен расчет параметров Стокса падающего излучения с помощью полу-

ченной матрицы рассеяния. Таким образом, выполненные результаты расчета могут быть ис-

пользованы при фотополяриметрических исследованиях удаленных космических объектов.



Поле рассеяния коэффициента поляризации падающего излучения

Библиографический список

1. Муртазов А.К. Мониторинг загрязнения околоземного пространства оптическими средствами. Рязань, 2010. 248 с.
2. Розенберг Г.В. Вектор-параметр Стокса. // Успехи физических наук. М. 1955. С. 77-110.
3. Бодрова И.В., Бодров О.А., Солдатов В.В. Влияние параметров Стокса на коэффициент поляризации при исследованиях фотометрических характеристик космического мусора // Вестник Рязанского государственного радиотехнического университета. 2014. № 50-1. С.17-21.
4. Бодрова И.В., Бодров О.А. Разработка схемы

определения параметров Стокса поляризационного излучения рассеивающей поверхности космических объектов // Современные концепции научных исследований. М. 2014. С. 24-26.

5. Сивухин Д.В. Курс общей физики. IV том. Оптика. М. 2002. 792 С.
6. Белошенков А.В. Поляризационные индикаторы рассеяния в прямой и обратной задачах фотометрии удаленных космических объектов: дисс.- Саратов.- 1996. – 111 с.
7. Геворкян П.С. Линейная алгебра и аналитическая геометрия – Физматлит. 2011. – 205 с.